

II-13 アーチの極限耐荷力に関する研究

東京大学工学部 正員 工博 奥村敏恵
 櫻田機械工業 正員 前田幸雄
 首都高速道路公団 正員 ○大久保禎二

アーチの極限耐荷力に関する論文は既に W. Swida, A.W. Hendry, E.T. Onat と W. Prager, L.K. Stevens, P.G. Hodge 等によって研究され、その成果が発表されている。これまでの論文はすべてアーチがその面内に完全な塑性ヒンジを生じて崩壊するものと考え、その崩壊理論式を展開している。アーチの極限耐荷力といふ立場からアーチの崩壊現象を考えてみると、面内で塑性ヒンジを生じて崩壊する場合が最大の耐荷力を示すとすると思はれるが、それはアーチが横座屈を局部座屈もしないといふ前提が必要である。もレーフの解析で塑性ヒンジを生ずると、その奥では回転に対する抵抗が失う結果新しい状態に至ると考えねばならない。即ち挠の増大の影響を考慮せねばならぬ。これは上述の座屈の危険性をもたらす。特にアーチが長大支間となり、一方幅員が制限されると、横座屈を度外視するわけにはいかない。このため横座屈と塑性崩壊の2つの条件より最も経済的な断面を求めることが実用上重要なこととなる。このようなく問題を處理する態度として、応力状態に関する条件式、塑性崩壊条件式、座屈条件式を関連させる方法をとると、假想変位の原理を用いて崩壊荷重を求め、一方座屈条件式よりその制限を考える方法と2通りある。ここでは後者を選んだ。まず8組の試験体をつくり、荷重条件および立場条件を定めてその崩壊性状および崩壊条件を調べた。これらの結果について以下簡単に説明しよう。

本円形アーチを実例の対象に選んだ。

軸方向力および曲げモーメントを受ける部材の塑性崩壊条件とそれに關係した性質

これについては既に多くの論文で詳述されているので簡単に述べる。即ち部材に働く軸方向力を N 、曲げモーメントを M とし、断面が完全に塑性状態を呈す場合の軸方向力を N_c 、曲げモーメントを M_c とし、 $\eta = N/N_c$ 、 $m = M/M_c$ とおくと、

$$R_1 m + R_2 \eta^2 = 1 \quad (1)$$

が崩壊条件式となる。但し R_1 、 R_2 は断面の形状、応力の状態に關係する値である。これを図示すると図-1となる。一方断面の中立軸に於ての垂直歪と λ 、回転角を θ とする。 $\lambda = N_c \lambda / M_c$ とおくと、内力

仕事 W_i は

$$W_i = M_c (m \theta + n \lambda) \quad (2)$$

とおくことができる。このように m と λ はそれぞれ座標系を (n, m) 、座標系に重ねて示すと、歪ベクトルと $n-m$ 相交曲線が直交するといふ性質が證明される。即ち

$$\frac{\partial}{\partial \lambda} \cdot \frac{dm}{dn} = -1, \quad (3)$$

$$\text{又は } \lambda = \frac{2R_2}{R_1} m \theta \quad (4)$$

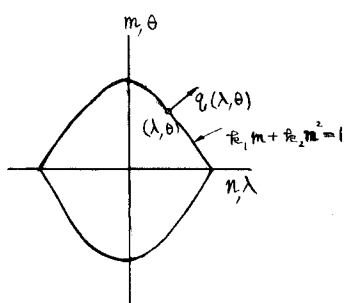


図-1

四形アーチの塑性前段荷重、算定

四形2ヒンジアーチが任意の点に集中荷重を受ける場合の計算例について計算する。他、條件も同様にして計算することとする。図-2に示すように荷重Pがアーチの中央から中点は左側に作用し、アーチの中央より ϕ_1 , ϕ_2 を角度の位置①および②に塑性ヒンジが生じ、アーチが崩壊するものとする。

支点Bの水平変位uおよび垂直変位vが0である條件より、

$$u = \alpha P (\cos \phi_1 - \cos \phi_0) - \Delta_1 \cos \phi_1 - \beta P (\cos \phi_2 - \cos \phi_0) - \Delta_2 \cos \phi_2 = 0$$

$$v = -2\gamma P \sin \phi_0 + \alpha P (\sin \phi_0 + \sin \phi_1) - \Delta_1 \sin \phi_1 - \beta P (\sin \phi_0 - \sin \phi_2) + \Delta_2 \sin \phi_2 = 0$$

$$\therefore \alpha = \theta_1$$

$$\Delta_1 = -\Lambda_1 = -\frac{M_o}{N_o} \lambda_1 = -\frac{M_o}{N_o} \frac{2\bar{R}_2}{R_1} n \theta_1$$

$$\beta = -\theta_2$$

$$\Delta_2 = -\Lambda_2 = +\frac{M_o}{N_o} \frac{2\bar{R}_2}{R_1} n \theta_2$$

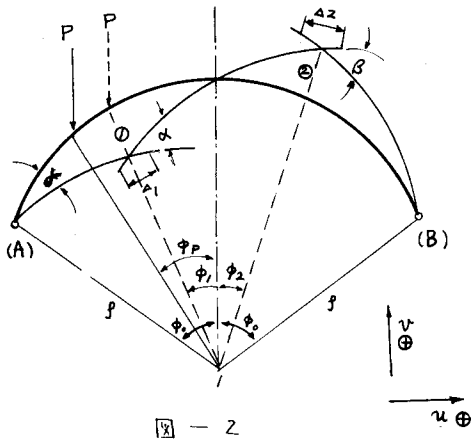


図-2

それより

$$\theta_1 = \frac{\{(4\pi k n - 1) \cos \phi_2 + \cos \phi_0\}}{\{(4\pi k n + 1) \cos \phi_1 - \cos \phi_0\}} \theta_2 \quad \dots \dots \dots \quad (4)$$

$$\therefore \theta_2 = \frac{M_o}{2P N_o}, \quad K = \frac{R_2}{R_1}, \quad \text{とすると}.$$

$$\gamma = \frac{\theta_2}{2\{(1+4\pi k n) \cos \phi_1 - \cos \phi_0\} \sin \phi_0} \left[\{(4\pi k n - 1) \cos \phi_2 + \cos \phi_0\} \{ \sin \phi_1 (1+4\pi k n) + \sin \phi_0 \} \right. \\ \left. + \{ \sin \phi_2 (4\pi k n - 1) + \sin \phi_0 \} \{ (1+4\pi k n) \cos \phi_1 - \cos \phi_0 \} \right] \quad \dots \dots \dots \quad (5)$$

前段荷重の算定に式を代入して先づ中点 ϕ_1 で支点条件を考慮する。

$\phi_p = \phi_1$ の場合

$$\text{外力仕事 } W_e = P \{ \gamma P (\sin \phi_0 - \sin \phi_p) + \Delta_1 / 2 \sin \phi_p \}$$

$$\text{内力仕事 } W_i = M_o (\theta_1 (1 + K n_1^2) - \theta_2 (1 + K n_2^2))$$

それより

$$P = \frac{2M_o}{\gamma} \sin \phi_0 \{ (4\pi k n - 1) \cos \phi_2 + 2 \cos \phi_0 - (1+4\pi k n) \cos \phi_p \} \{ (\sin \phi_0 - \sin \phi_p) \{ (4\pi k n - 1) \cos \phi_2 + 2 \cos \phi_0 \} \{ \sin \phi_0 - \sin \phi_p \} + \{ \sin \phi_2 (4\pi k n - 1) + \sin \phi_0 \} \{ (1+4\pi k n) \cos \phi_1 - \cos \phi_0 \} \} - 4\pi k n \sin \phi_0 \sin \phi_p \{ (4\pi k n - 1) \cos \phi_2 + \cos \phi_0 \} \} \quad \dots \dots \quad (6)$$

$\phi_p > \phi_1$ の場合

同様に式

$$P = \frac{2M_o}{\gamma} \frac{\sin \phi_0 \{ (4\pi k n - 1) \cos \phi_2 + 2 \cos \phi_0 - (1+4\pi k n) \cos \phi_1 \}}{\{ \sin \phi_0 - \sin \phi_1 \} \{ (4\pi k n - 1) \cos \phi_2 + \cos \phi_0 \} \{ \sin \phi_1 (1+4\pi k n) + \sin \phi_0 \} + \{ \sin \phi_2 (4\pi k n - 1) + \sin \phi_0 \} \{ (1+4\pi k n) \cos \phi_1 - \cos \phi_0 \}} \quad \dots \dots \quad (7)$$

(7), (8)の式中 θ_1, θ_2 の組合せは無限にあり、2式の解で決定できることで、偏心載荷

場合も曲げモーメントがアーチの前境界を支配すると考え、弹性方程式により最大曲げモーメントが生ずる位置を求め、その点がアーチの中心より支点A側に求めば ϕ_1 、支点B側に求めば ϕ_2 とし、上式に代入し ϕ_1 （又は ϕ_2 ）を置き化させてPの最小値を求める。

この場合最大曲げモーメントが生ずる位置中には次式となり求まる。

$$\frac{(\sin \phi_0 - \sin \phi_p)}{\sin \phi_0} \cos \phi + \frac{P^2 [\sin^2 \phi_0 - \sin^2 \phi_p - 2 \cos \phi_0 (\phi_0 \sin \phi_0 - \phi_p \sin \phi_p) - \cos \phi_0 + \cos \phi_0 \sin \phi]}{P^2 (\phi_0 - 3 \cos \phi_0 \sin \phi_0 + 2 \phi_0 \cos \phi_0) + (\frac{I}{P}) \phi_0 \cos \phi_0} = 0 \quad \dots (9)$$

一般に ϕ_1 小小さの場合 $\phi_1 > \phi_2$ となり、荷重点の下でアーチ弹性ヒンジが生じ、その左右 ϕ_1, ϕ_2 の位置に一つづつ塑性ヒンジが生ずる。又代換的方程がアーチ頂点に集中荷重が作用した場合である。左支点方向力の影響を無視して考へて、一般にアーチが集中荷重を受けた場合曲げモーメントによるモーメントはそれより少なくて、一般にMの値は0.05～0.2の範囲を考へればよい。

左支点分布荷重 q を受ける場合も同様にして計算できる。ヒンジが生ずる位置 X とする、前段落分布荷重法式で求まる。

$$q_1 = M_0 [(1 + K n_1^2) \{ \cos(\phi_0 - x)(1 - 4KKn) - \cos \phi_0 \} - (1 + K n_2^2) / \cos \phi_0 - (1 - 4KKn)] \times P^{-2} \times [(1 - 4KKn) / \sin(\theta_2 - x)(1 + 4KKn) + \sin x] - (\cos \phi_0 - (1 - 4KKn) / \sin \phi_0 - \sin(\phi_0 - x)) \{ 4KKn \sin(\phi_0 - x) + \frac{\sin \phi_0 - \sin(\phi_0 - x)}{2} \} - \sin \phi_0 \left[1 + 4KKn + \frac{\sin \phi_0}{2} \{ \cos(\phi_0 - x)(1 - 4KKn) - \cos \phi_0 \} \right]]^{-1} \quad \dots (10)$$

横座屈左支配する条件

アーチが横座屈して横方向にわざわざに傾むとし、そろわざわざに傾みによる歪エネルギーの増加量 ΔV と横座屈による外力仕事の増加量が等しくなれば横座屈前荷重を求める。

即ち横座屈による歪エネルギーの増加量 ΔV は、Mをアーチの仕事の度合の横座屈による曲げモーメント、Tを横方向モーメントとし、B₂をアーチ断面の断面に垂直な軸角とすと曲げ剛性、Cを横方向剛性とすと

$$\Delta V = 2 \left\{ \frac{1}{2B_2} \int_{\phi_0}^{\phi_1} M^2 P d\phi + \frac{1}{2C} \int_{\phi_0}^{\phi_1} T^2 P d\phi \right\} \quad \dots (11)$$

一方横座屈による外力仕事の増加量 ΔU は、

$$\Delta U = \sum p_i (v_{i1} + v_{i2}) \quad \dots (12)$$

ここで v_{i1} はアーチが横方向に曲がることによる荷重作用点の鉛直移動量であり、 v_{i2} はアーチが横方向に傾んでモーメント軸長が変化することによる荷重の作用点の鉛直移動量である。即ちアーチが水平方向に自由に動き得るとすれば横方向に傾む及んで支点における中央スカート移動し支内が短くなるのである。しかし実際は支点は固定されて左の軸長が変化しないように左支点から鉛直移動量は増加する。又左端形アーチ横座屈剛性 $u = f(\phi)$ を假定すれば $\Delta U = \Delta V$ より横座屈値を求めることができる。 v_{i1} は荷重点の横移動量をとすと、 $v_{i1} = S^2 \pi^2 / 16P (\cos \phi_i - \cos \phi_0)$ と求められる。一方 v_{i2} は支点が自由に移動できることとする、この移動量は $\lambda = \frac{1}{2} \int_0^L \left(\frac{du}{dz} - \frac{u}{z} \frac{du}{dz} \right)^2 dz$ で与えられるとより上式。條件を考慮すると、 $v_{i2} = \frac{\pi^2}{2P \phi_0} \times \frac{\sin \phi_0 - \sin \phi_i}{\sin \phi_0}$ と求められる。

左支点条件が満足する横座屈として次式を假定した。

$$u = \frac{4}{3} - \sin \frac{\pi \phi}{2 \phi_0} + \frac{1}{3} \sin \frac{3\pi \phi}{2 \phi_0} \quad \dots (13)$$

7-4の Minimum weight design

上述の塑性崩壊荷重の算定式より、一般にアーチの塑性崩壊荷重は次の形の式で表はされる。即ち荷重状態 (P, q_f) = F で表はすと、

$$(P, q_f) = \frac{M_0}{f} \times C_1 \quad \dots \dots \dots \quad (14)$$

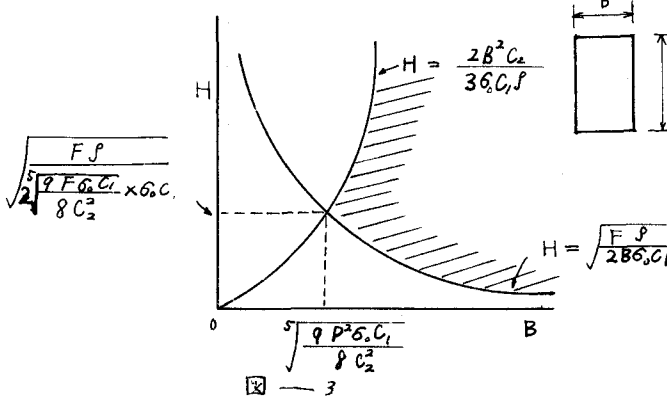
一方横座屈崩壊荷重上り

$$(P, q_f) = \frac{B_2 \times C_2}{f^2} \quad \dots \dots \dots \quad (15)$$

今簡単な矩形断面 $B \times H$ を想定する、 σ_0 を降伏点とする。

$$H = \sqrt{\frac{F_f}{2B\sigma_0 C_1}}, \quad \text{一方} \quad B_2 = \frac{4B^3 H}{3} \text{ となる。}$$

(14), (15) 等しいとおくと、 $H = \frac{2B^2 C_2}{3\sigma_0 C_1 f}$ 横座屈し直いをもとに限界曲線より下に来る必要がある。これ正圖示したのが図-3である。即ち図-3は横軸に幅 B 、縦軸に高さ H とつぶさにしたものがである。



と便利である。

アーチの崩壊に関する実験

以上より理論的考察を補ふる目的と、一方アーチの崩壊の条件を考察する目的で図-4にまとめたより実験の下で8種の試験体によつて実験を行つた。端条件として両端ヒンジ、固定の2つの場合を比較した。

ヒンジの発生は塑性抵抗線を計による応力分布、応力塗料による機械測定しきれより獲を得、急増の状態を観察して定めた。崩壊は比較的明確な形で示された。同じ支間同じ形状のアーチでも崩壊の形は荷重条件で支配され、特に $1/4$ 集中荷重の場合は塑性ヒンジによる崩壊を示すが、頂点集中荷重とすると、荷重点で一辺のヒンジが生じた後横座屈が生ずる。分布荷重に至るに従い横座屈が支配的となつた。実験値と理論値を比較的よく一致した。結果は図-4に示す。

形式	載荷状態	断面寸法	崩壊荷重 (t)	崩壊の型
2ヒンジ		$ZB = 5.5$ $ZH = 9.3$ $Zd = 0.3$ $t = 0.9$	8.7	半塑性 横座屈
門形アーチ		$ZB = 5.5$ $ZH = 0.3$ $Zd = 0.9$ $t = 0.9$	6.6	塑性 崩壊
"		$ZB = 6.0$ $ZH = 7.3$ $Zd = 0.9$ $t = 0.9$	12.6	弹性 横座屈
"		$ZB = 4.0$ $ZH = 6.2$ $Zd = 0$ $t = 0.6$	3.3	同上
固定		$ZB = 5.5$ $ZH = 9.3$ $Zd = 0.9$ $t = 0.9$	7.4	半塑性 横座屈
四型アーチ		$ZB = 5.5$ $ZH = 9.3$ $Zd = 0.9$ $t = 0.9$	9.5	塑性 崩壊
"		$ZB = 5.0$ $ZH = 7.3$ $Zd = 0.9$ $t = 0.9$	14.75	弹性 横座屈
"		$ZB = 4.0$ $ZH = 6.2$ $Zd = 0$ $t = 0.6$	5.7	同上
$L = 300 \text{ cm}$ $Z\phi = 90^\circ$ $P = 212.13 \text{ cm} + \frac{1}{6} L$				